

电磁场与电磁波

第17讲

1. 介质—导体界面
2. 介质—等离子体界面
3. 多层介质系统对平面波的反射与透射

介质-导体交界面的反射

2

导体 $\nabla \times \mathbf{H} = j\omega\epsilon\mathbf{E} + \sigma\mathbf{E} = j\omega(\epsilon - j\frac{\sigma}{\omega})\mathbf{E} = j\omega\tilde{\epsilon}\mathbf{E}$

$$\tilde{\epsilon} = \epsilon - j\frac{\sigma}{\omega} = \epsilon_0\tilde{\epsilon}_m, \quad \epsilon_m = \epsilon'_m - j\epsilon''_m$$

$$\epsilon'_m \approx 1, \quad \epsilon''_m = \frac{\sigma}{\omega\epsilon_0}, \quad \epsilon''_m \gg \epsilon'_m$$

$$k_{zm} = \sqrt{k_0^2(\epsilon'_m - j\epsilon''_m) - k_x^2} \approx \sqrt{-jk_0^2\epsilon''_m}$$

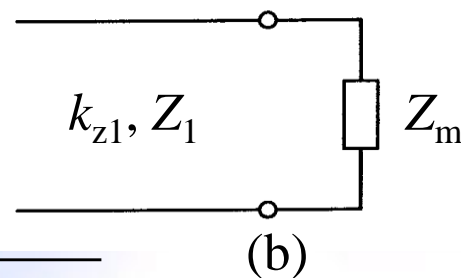
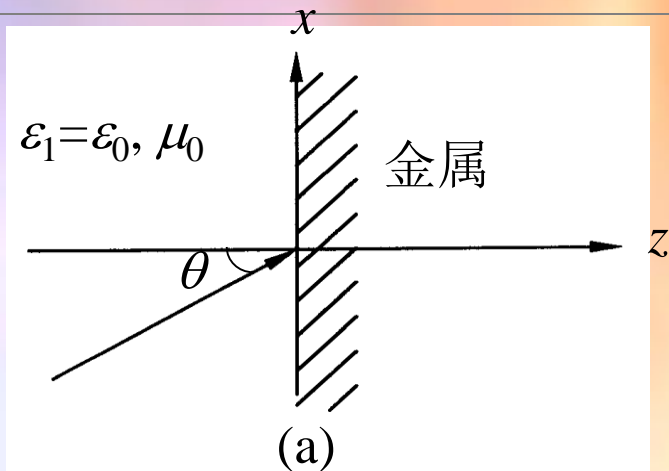
$$= \sqrt{\frac{\omega\mu_0\sigma}{2}}(1-j) = \frac{1}{\delta}(1-j), \quad \delta = \sqrt{\frac{2}{\omega\mu_0\sigma}}$$

δ 是趋肤深度，特征阻抗为

$$Z_{TE} = Z_{TM} = Z_m = R(1+j), \quad R = \frac{\omega\mu_0\delta}{2} = \sqrt{\frac{\omega\mu_0}{2\sigma}}$$

反射系数 $\Gamma = \frac{Z_m - Z_1}{Z_m + Z_1}$

对于理想导体， $\delta \rightarrow 0$ ， $R \rightarrow 0$ ，反射系数 $\Gamma \rightarrow -1$



平面波垂直投射到理想导体表面的反射

3

相当于TEM模投射到**理想**导电面。用传输线等效时

$$E_x = \varphi(x)U(z) = U(z)$$

$$H_y = \varphi(x)I(z) = I(z)$$

$$\varphi(x) = 1$$

$U(z)$ 、 $I(z)$ 满足传输线方程，传输线参数为

$$k = k_0 = \omega\sqrt{\mu_0\epsilon_0}$$

$$Z = \eta_0 = \sqrt{\mu_0/\epsilon_0}$$

完纯导体用 $z=0$ 处的短路线代替

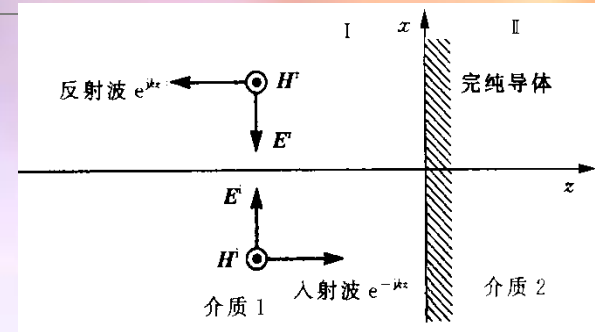
$$U(z) = -2jU^i \sin(kz)$$

$$I(z) = \frac{2}{\eta_0} U^i \cos(kz)$$

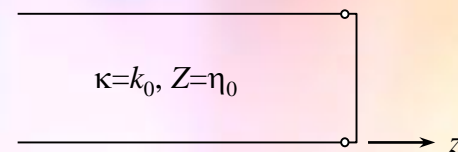
U 、 I 的瞬时值为

$$u(z, t) = \text{Re}[U(z)e^{j\omega t}] = 2U^i \sin(kz) \sin(\omega t)$$

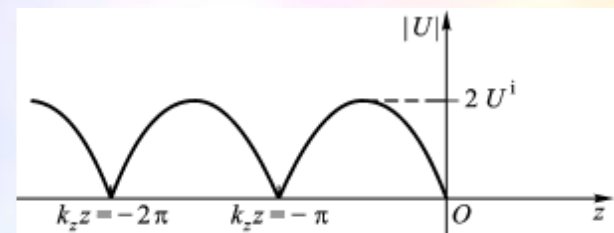
$$i(z, t) = \text{Re}[I(z)e^{j\omega t}] = \frac{2U^i}{\eta_0} \cos(kz) \cos(\omega t)$$



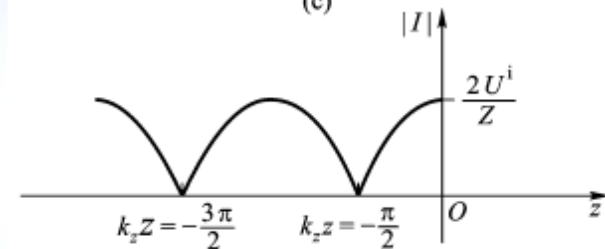
(a)



(b)



(c)



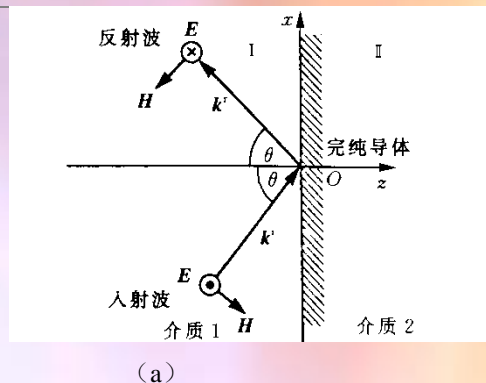
(d)

TE平面波倾斜投射到理想导体表面的反射

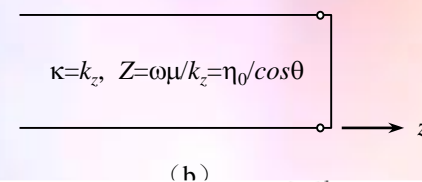
4

TE模场量 E_y , H_x 、 H_z

$$\begin{cases} E_y = -\varphi(x)U(z) = -e^{-jk_x x}U(z) & \varphi(x) = e^{-jk_x x} \\ H_x = \varphi(x)I(z) = -e^{-jk_x x}I(z) & k_x = k_1 \sin \theta = k_0 \sin \theta \end{cases}$$

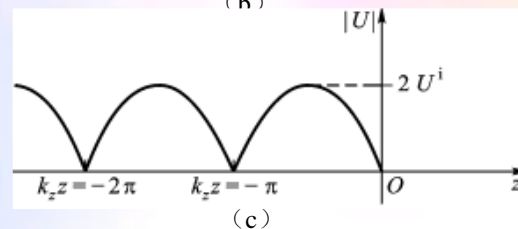


传输线 模型(理想导体用短路线表示)



$$k_z = k_1 \cos \theta = k_0 \cos \theta = \omega \sqrt{\mu_0 \epsilon_0} \cos \theta$$

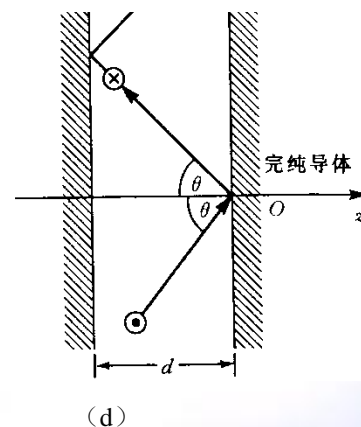
$$Z = \frac{\omega \mu_0}{k_z} = \sqrt{\frac{\mu_0}{\epsilon_0}} / \cos \theta = \eta_0 / \cos \theta$$



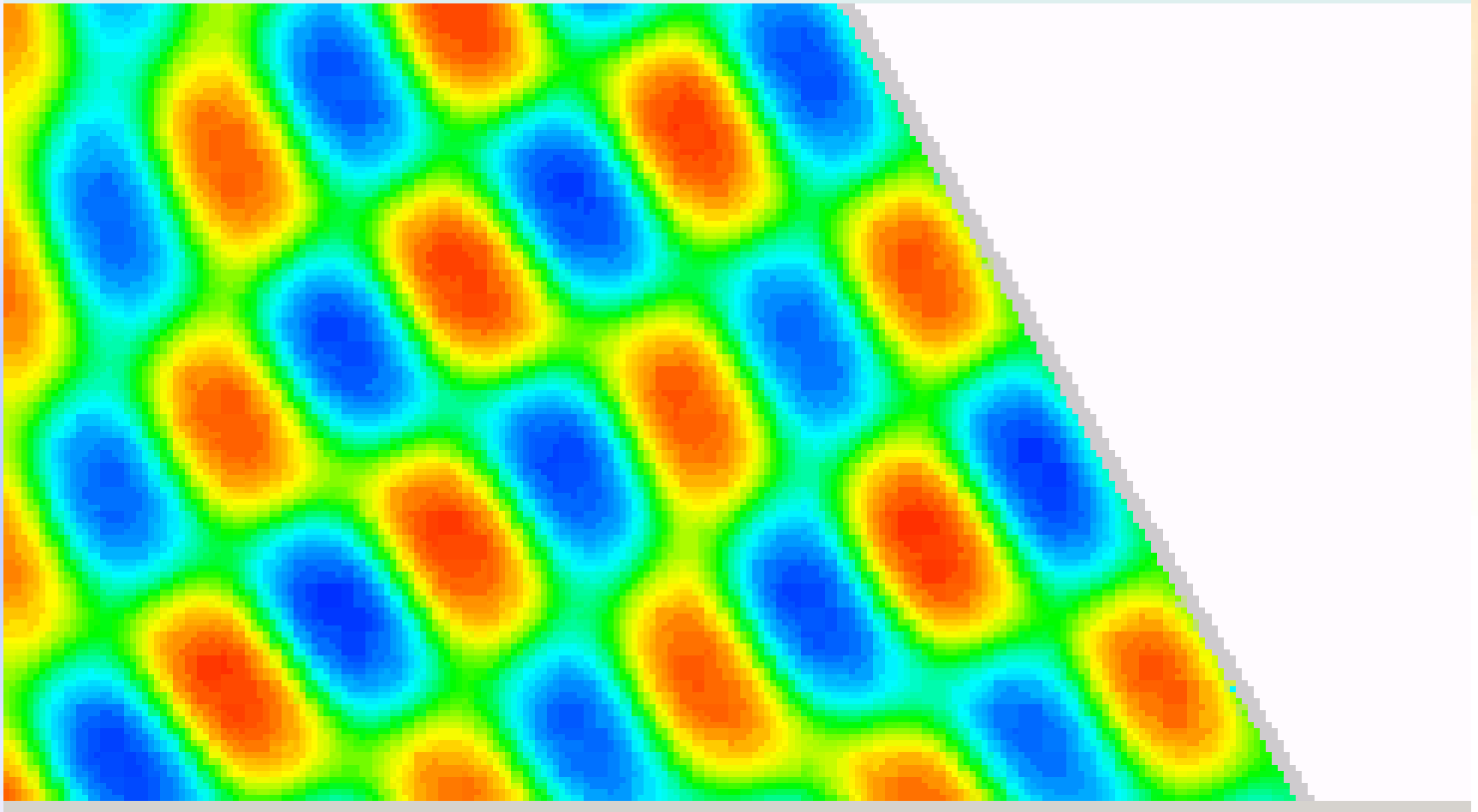
短路传输线上电压、电流的分布为纯驻波

$$U(z) = -2jU^i \sin(k_z z)$$

$$I(z) = \frac{2U^i}{Z} \cos(k_z z)$$



介质—导体



什么是等离子体？

等离子体是电离了的气体，含有大量带正电的离子和带负电的电子，与束缚在原子中的带负电的电子和带正电的核不同，等离子体中的电子和离子可以自由运动。

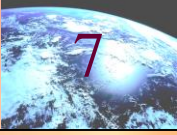
离开地面80~120km高空的电离层就是一个等离子体，电离层是由太阳辐射来的紫外光电离高空大气而形成的。

等离子体分析模型：

如果时谐电场作用于等离子体，等离子体中的电子和离子将受电场力作用而运动。因为电子质量比离子质量小得多，离子的运动可忽略，电子将在平衡位置附近作简谐振动。

电子离开平衡位置振荡，电子和离子的重心不重合，形成电偶极子。所以时谐电场扰动下的等离子体可看成无限多振荡电偶极子的集合。

等离子体单位体积中的电偶极矩



时谐场作用于等离子体，电子受到的力，按洛伦兹力方程为

$$\mathbf{F} = e\mathbf{E} \quad (1)$$

假设 \mathbf{x} 为电子离开正离子的位移，在电子作简谐振荡假定下，有

$$\mathbf{F} = m \frac{d^2 \mathbf{x}}{dt^2} = -m\omega^2 \mathbf{x} \quad (2)$$

根据偶极子定义，偶极矩密度 \mathbf{P} 为

$$\mathbf{P} = -Nex \quad (3)$$

由式（1）与式(2)求得 \mathbf{x} ，再将此 \mathbf{x} 代入式（3）得到

$$\mathbf{P} = \frac{-Ne^2}{m\omega^2} \mathbf{E}$$

等离子体的等效介电常数

任何介质中 \mathbf{D} 由自由空间部分与介质极化产生的电偶极矩 \mathbf{P} 两部分构成。

等离子体也是一种介质，所以等离子体中 \mathbf{D} 也由自由空间部分与电偶极矩 \mathbf{P} 两部分构成，即

$$\mathbf{D} = \varepsilon_0 \mathbf{E} + \mathbf{P} = \varepsilon_0 \mathbf{E} - \frac{Ne^2}{m\omega^2} \mathbf{E} = \varepsilon_0 \left(1 - \frac{\omega_p^2}{\omega^2} \right) \mathbf{E}$$

式中

$$\omega_p = \sqrt{\frac{Ne^2}{m\varepsilon_0}}$$

称为等离子体频率。所以等离子体可用一有效介电常数为

$$\varepsilon_e = \varepsilon_0 \left(1 - \frac{\omega_p^2}{\omega^2} \right)$$

的介质等效。

电离层中等离子体对电磁波传播的影响

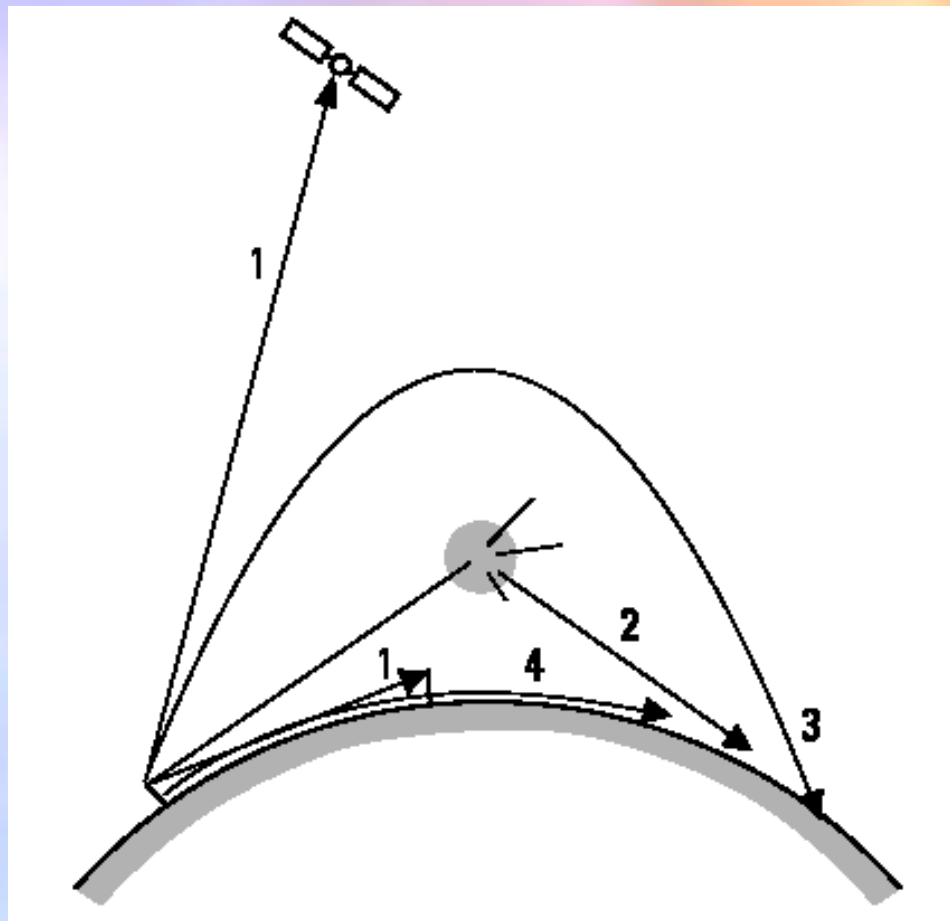


电离层中电子浓度随电离层离开地面的高度以及昼夜时间而变化。

白天的典型值为 10^{12} 电子/ m^3 ，相应的 $\omega_p = 5.64 \times 10^7 \text{ rad/s}$ ，或 $f_p = 9 \text{ MHz}$ 。

因此，如果电磁场的频率 $f \gg f_p$ ，电离层与自由空间无多大差别。

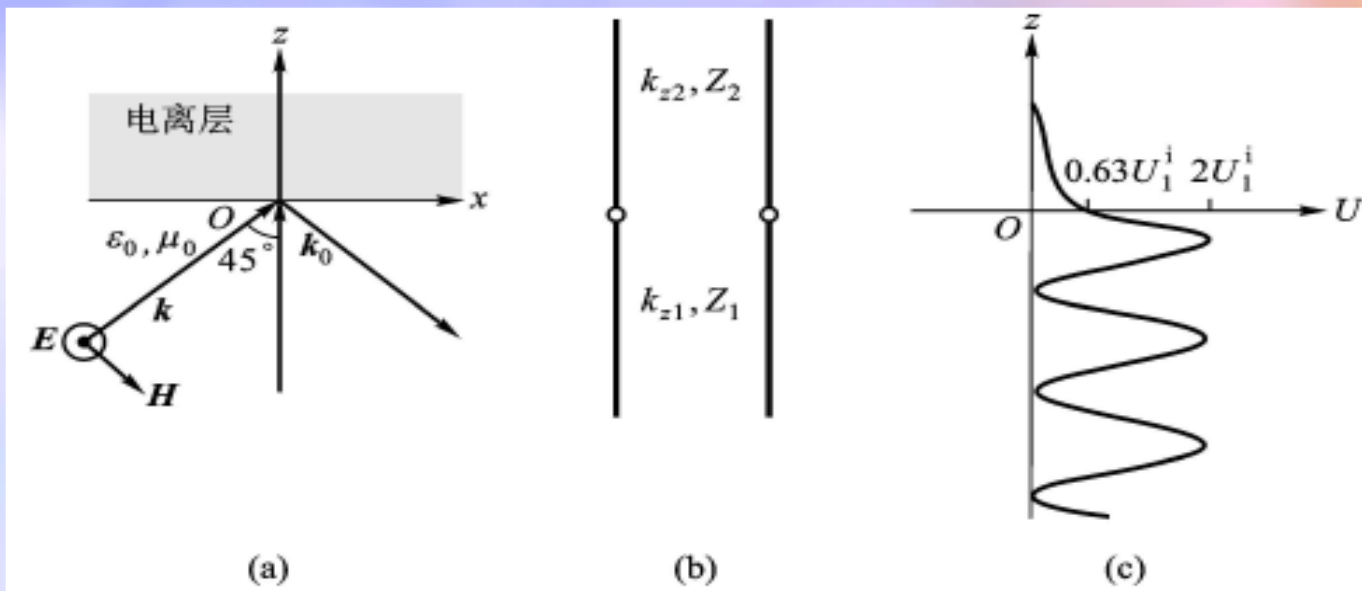
但是对于较低频率的电磁场， ϵ 可以为负，对电磁波全反射，可作为电磁波的反射体。



上述结论在考虑地磁场影响后就变得不正确了。

电离层的反射

10



电离层可看作等离子体，
$$\epsilon = \epsilon_0 \left(1 - \frac{\omega_p^2}{\omega^2} \right)$$

当入射电磁波 ω 小于 ω_p 时， ϵ 有可能小于1甚至为负。

设入射波角频率， $\omega = \omega_p / \sqrt{5}$ ，则电离层用 $\epsilon_2 = -4\epsilon_0$ 的介质表示。

当 ϵ 为负时，等离子体相当于一导体，对入射电磁波全反射。

1968年，苏联科学家受等离子态的介电系数为负这一特性，给出了双负介质的传播特性的研究论文。

利用传输线理论分析电离层的反射

$$k_1 = \omega \sqrt{\mu_0 \varepsilon_1} = \omega \sqrt{\mu_0 \varepsilon_0} = k_0$$

$$k_2 = \omega \sqrt{\mu_0 \varepsilon_2} = \omega \sqrt{\mu_0 (-4\varepsilon_0)} = -j2k_0$$

$$k_x = k_1 \sin 45^\circ = \frac{\sqrt{2}}{2} k_0$$

$$k_{z1} = k_1 \cos 45^\circ = \frac{\sqrt{2}}{2} k_0$$

$$k_{z2} = \sqrt{k_2^2 - k_x^2} = \sqrt{-4k_0^2 - \left(\frac{\sqrt{2}}{2} k_0\right)^2} = -j2.12k_0$$

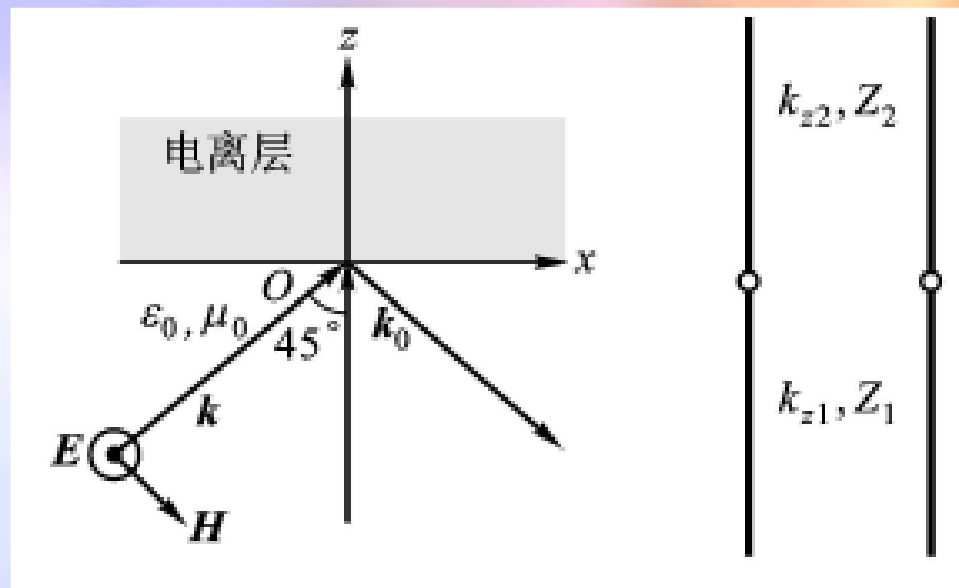
$$Z_1 = \begin{cases} \omega \mu_0 / k_{z1} = \sqrt{2} \eta_0 & \text{TE} \\ k_{z1} / \omega \varepsilon_1 = \frac{\sqrt{2}}{2} \eta_0 & \text{TM} \end{cases}$$

$$Z_2 = \begin{cases} \omega \mu / k_{z2} = \frac{j}{2.12} \eta_0 & \text{TE} \\ k_{z2} / \omega \varepsilon_2 = \frac{j2.12}{4} \eta_0 & \text{TM} \end{cases}$$

$$\Gamma = \frac{Z_2 - Z_1}{Z_2 + Z_1}$$

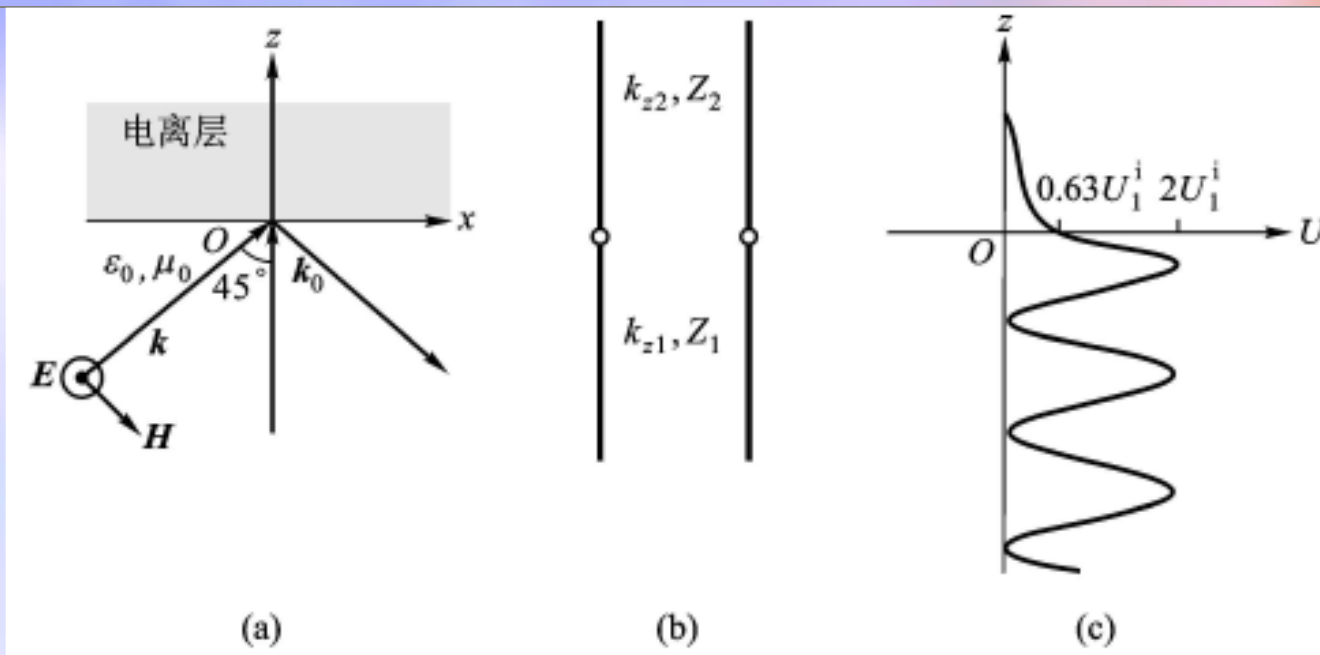
$$\Gamma_{\text{TE}} = 1.0e^{j143^\circ}$$

$$\Gamma_{\text{TM}} = 1.0e^{j286^\circ}$$



电离层的反射

12



$$\Gamma = \frac{Z_2 - Z_1}{Z_2 + Z_1} \quad \Gamma_{\text{TE}} = 1.0e^{j143^\circ}$$

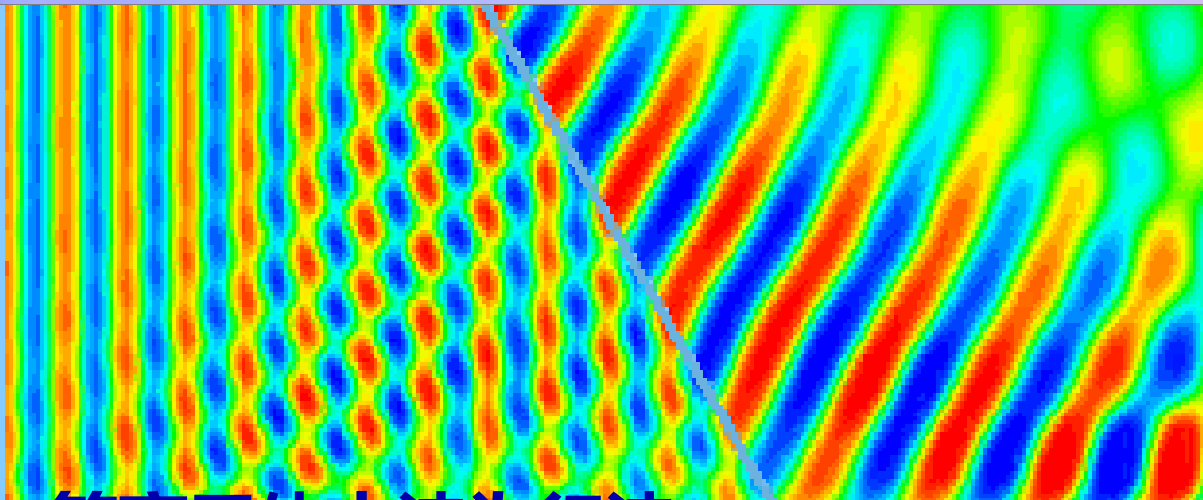
$$\Gamma_{\text{TM}} = -1.0e^{j286^\circ} = 1.0e^{j106^\circ}$$

注意，TE、TM模反射系数的相角 ψ 是不同的。区域I为纯驻波

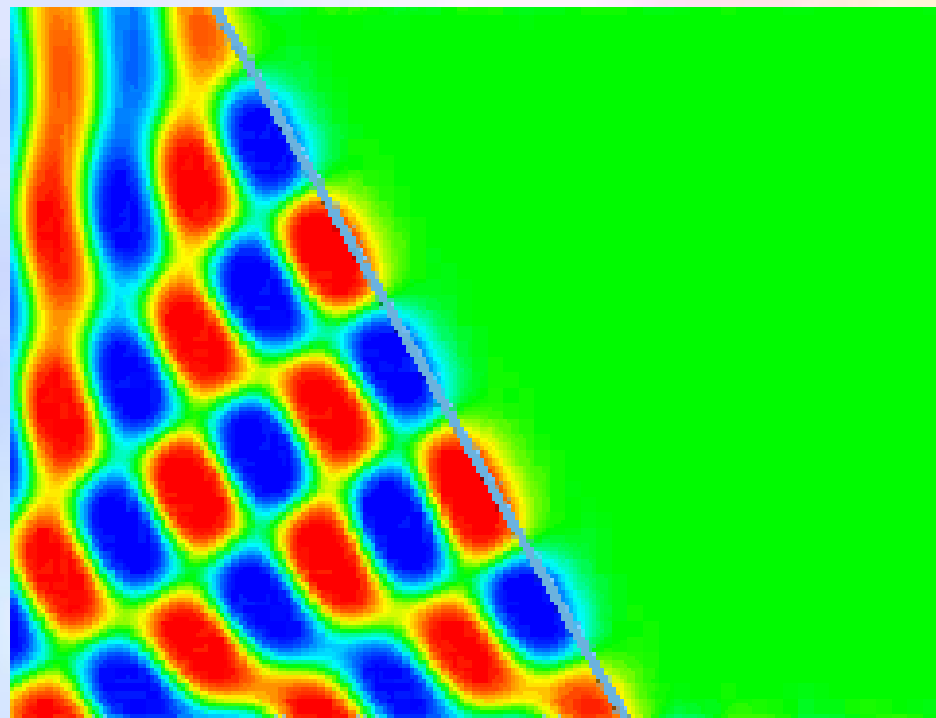
$$d_{\min 1} = \frac{\lambda}{4} + \frac{143^\circ}{720^\circ} \lambda = 0.4486\lambda \quad |U(z=0)| = |U_1^i (1 + \Gamma_{\text{TE}}(0))| = 0.63U_1^i$$

电离层中没有波的传播。沿界面有波的传播

$$\varphi(x) = e^{-jk_x x} = e^{-j\frac{\sqrt{2}}{2}k_0 x}$$



等离子体中波为行波
(f 高于 f_p)



等离子体中没有波的传播
(f 低于 f_p)

单层介质系统中的波动分析

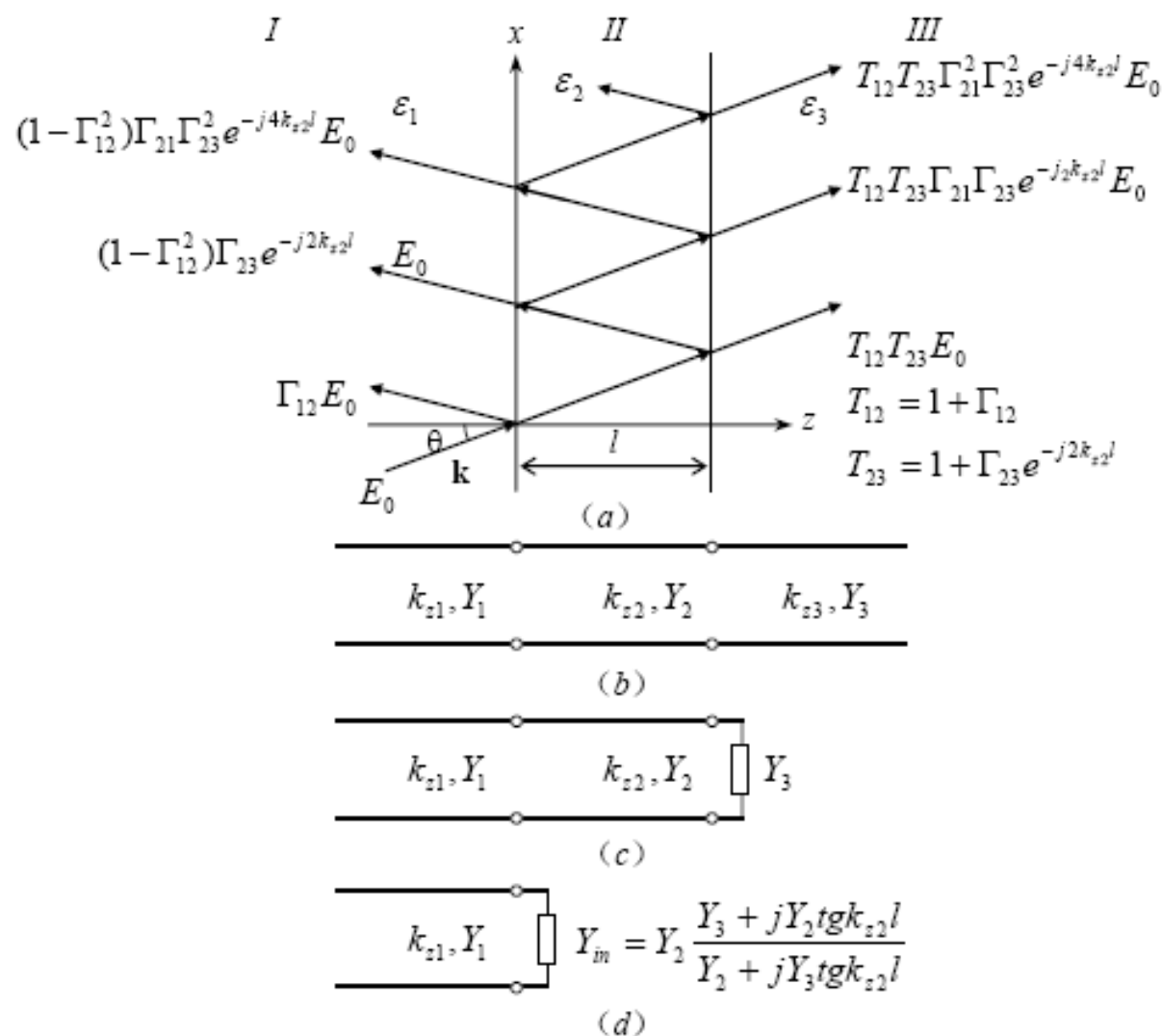


图 5-24 单层平板介质系统对平面波反射、透射的射线分析与波动分析

(a) 单层平板介质系统 (b)、(c)、(d) 等效电路

单层介质系统中的波动分析

选择与界面垂直的 z 轴为纵向， x 轴与界面平行，波矢 \mathbf{k} 在 x - z 平面内。如同分析平面界面时所做的那样，图5-24(a)所示的单层平板介质系统可用图5-24(b)所示的电路等效。其中 k_{z1} , Y_1 、 k_{z2} , Y_2 、 k_{z3} , Y_3 分别为区域I、II、III对应的等效传输线的传播常数和特征波导纳。

$$\begin{aligned}k_{zi} &= \sqrt{k_0^2 \varepsilon_{ri} - k_x^2} \\k_0^2 &= \omega^2 \mu \varepsilon_0 \\k_x &= k_1 \sin \theta \\Y_i &= \begin{cases} \frac{\omega \varepsilon_{ri} \varepsilon_0}{k_{zi}} & TM \text{模} \\ \frac{k_{zi}}{\omega \mu} & TE \text{模} \end{cases}\end{aligned}$$

单层介质系统中的波动分析

从区域I看进去 $z=0$ 处的反射系数、透射系数为

$$\Gamma(z=0^-) = \frac{Y_1 - Y_{in}}{Y_1 + Y_{in}}$$
$$T(z=0^-) = \frac{2Y_1}{Y_1 + Y_{in}}$$

$$\Gamma_{12} = -\Gamma_{21} = \frac{Y_1 - Y_2}{Y_1 + Y_2}$$
$$\Gamma_{23} = -\Gamma_{32} = \frac{Y_2 - Y_3}{Y_2 + Y_3}$$

引入区域I与II、II与III界面的反射系数

输入导纳 Y_{in} 可写为

$$Y_{in} = Y_2 \frac{1 - \Gamma_{23} e^{-j2k_{z2}l}}{1 + \Gamma_{23} e^{-j2k_{z2}l}}$$

式中

$$\Gamma = \frac{\Gamma_{12} + \Gamma_{23} e^{-j2k_{z2}l}}{1 + \Gamma_{12} \Gamma_{23} e^{-j2k_{z2}l}}$$
$$T = \frac{T_{12} T_{23}}{1 - \Gamma_{21} \Gamma_{23} e^{-j2k_{z2}l}}$$
$$T_{12} = \frac{2Y_1}{Y_1 + Y_2} = 1 + \Gamma_{12}$$
$$T_{23} = 1 + \Gamma_{23} e^{-j2k_{z2}l}$$

单层介质系统中的波动分析

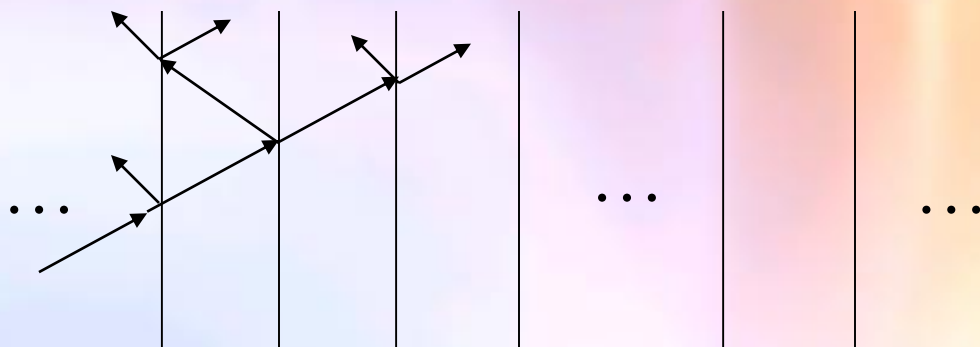
反射系数、透射系数为

$$\Gamma = \Gamma_{12} + (1 - \Gamma_{12}^2) \Gamma_{23} e^{-j2k_{z2}l} + (1 - \Gamma_{12}^2) \Gamma_{21} \Gamma_{23}^2 e^{-j4k_{z2}l} + \dots$$
$$T = T_{12} T_{23} \left(1 + \Gamma_{21} \Gamma_{23} e^{-j2k_{z2}l} + \Gamma_{21}^2 \Gamma_{23}^2 e^{-j4k_{z2}l} + \dots \right)$$

多层平板介质中波的传播

本节讨论的多层平板介质系统其相对介电常数沿 z 轴的分布可表示为

$$\varepsilon_r(z) = \begin{cases} \varepsilon_{\text{rI}} & z < 0 \\ \varepsilon_{\text{rI}} & 0 < z < z_1 \\ \varepsilon_{\text{r2}} & z_1 < z < z_2 \\ \vdots & \vdots \\ \varepsilon_{\text{rn}} & z_{n-1} < z < z_n \\ \varepsilon_{\text{rIII}} & z > z_n \end{cases}$$



要确定区域 I 的反射波，区域 III 的透射波的大小及其传播方向，以及在 n 层介质内的场分布或波的传播。

在本征坐标系中 $\mathbf{k} = k_x \mathbf{x}_0 + k_z \mathbf{z}_0$, $k_y = 0$ 。

对 TE 模, $\mathbf{E} = E_y \mathbf{y}_0$, $\mathbf{H} = H_x \mathbf{x}_0 + H_z \mathbf{z}_0$,

TM 模, $\mathbf{H} = H_y \mathbf{y}_0$, $\mathbf{E} = E_x \mathbf{x}_0 + E_z \mathbf{z}_0$,

多层介质系统中场分布（或波的传播）的求解也有两个途径：场量匹配法，传输线模型法。

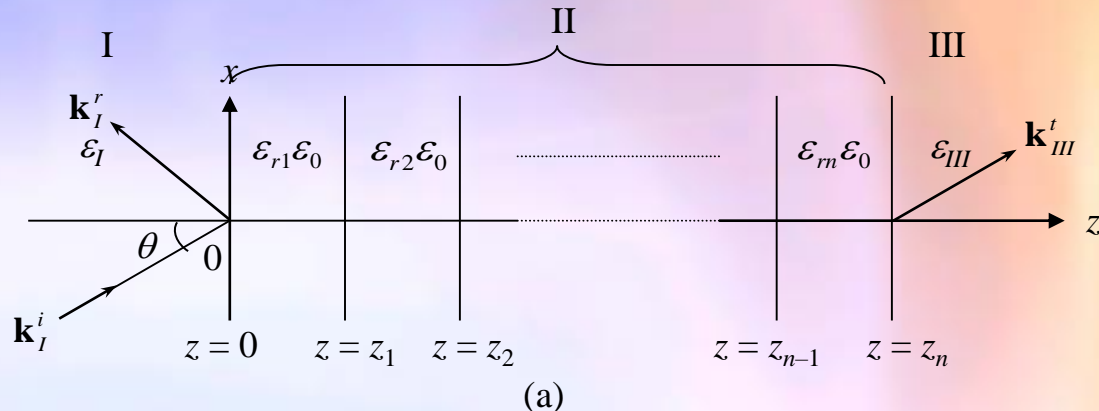
多层介质中TE波传播的传输线模型

19

电压 $U(z)$ 、电流 $I(z)$ 与第 j 层
介质中场量 E_{jy}, H_{jx} 关系为

$$E_{jy} = -\varphi_j(x)U_j(z)$$

$$H_{jx} = \varphi_j(x)I_j(z)$$



模式函数 $\varphi_j(x)$

$$\varphi_j(x) = e^{-jk_x x}$$

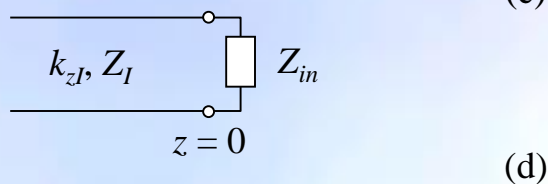
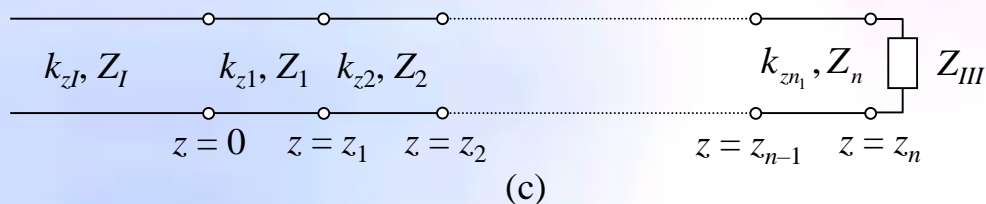
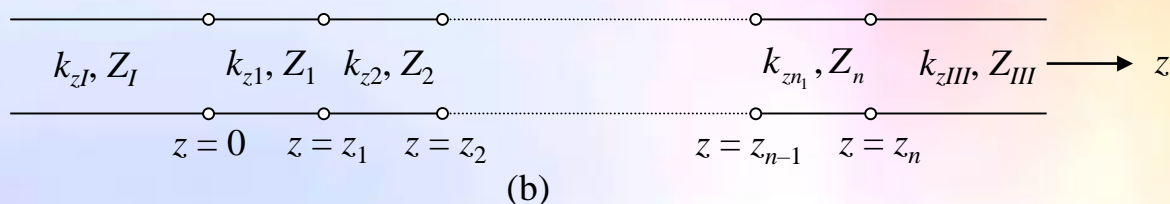
$$k_x = k_{xI} = k_{xIII}$$

$$= k_{xn} = k_I \sin \theta$$

$$k_{zj} = \sqrt{k_i^2 - k_x^2}$$

$$= \sqrt{k_0^2 \varepsilon_j - k_I^2 \sin^2 \theta}$$

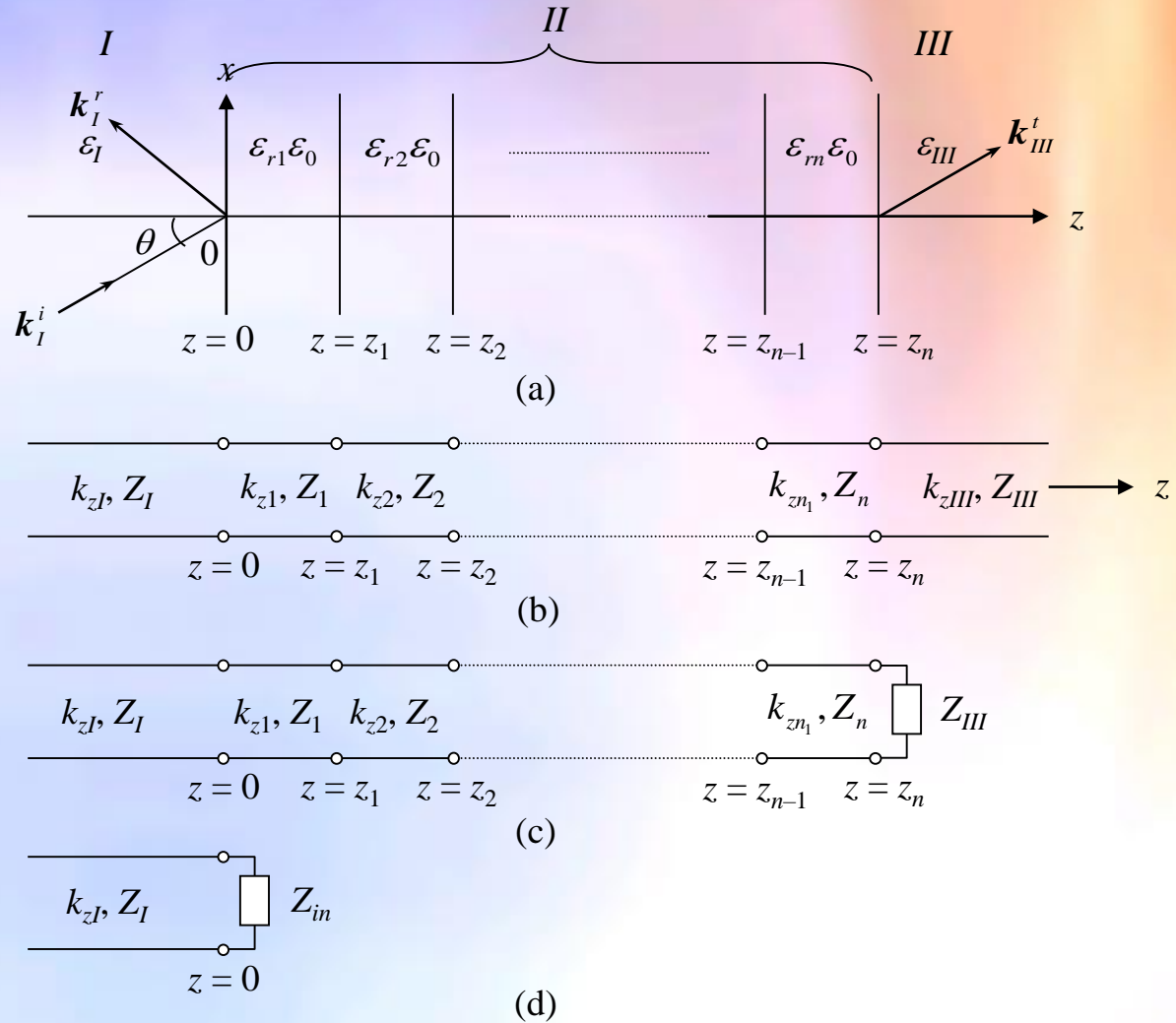
$$Z_j = \frac{1}{Y_j} = \omega \mu / k_{zj} \quad j = I, III, 1, 2, \dots, n$$



反射系数与场分布

$z=0$ -处反射系数

$$\begin{aligned}\Gamma(z=0^-) &= \frac{Z_{\text{in}}(0) - Z_I}{Z_{\text{in}}(0) + Z_I} \\ &= \frac{Y_I - Y_{\text{in}}(0)}{Y_I + Y_{\text{in}}(0)}\end{aligned}$$



区域I中的电压、电流分布

$$U_I(z) = [1 + \Gamma_I(z)] U_I^i e^{-jk_{z1}z}$$

$$I_I(z) = [1 - \Gamma_I(z)] \frac{U_I^i}{Z_I} e^{-jk_{z1}z}$$

式中 $\Gamma_I(z) = \Gamma_I(0^-) e^{j2k_{z1}z}$

反射系数与场分布

$z = 0$ 界面 U 、 I 连续

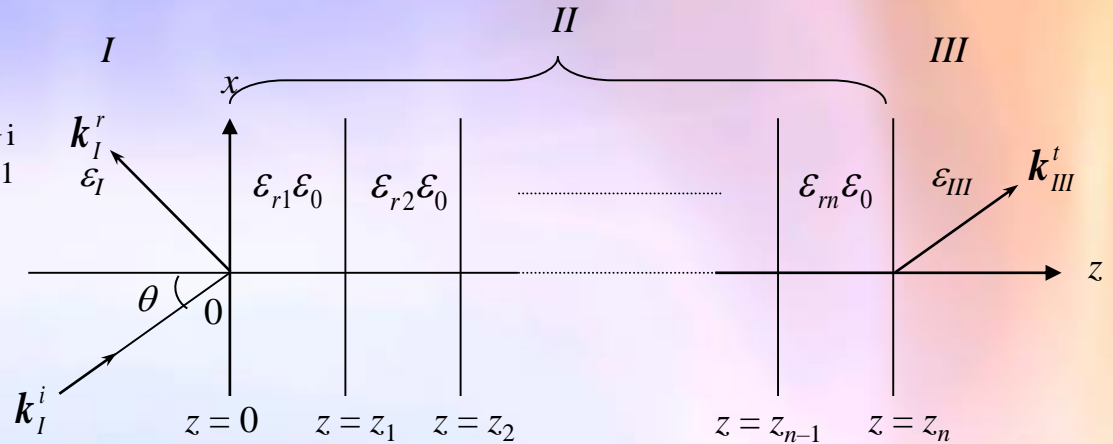
$$[1 + \Gamma_I(0^-)] U_1^i = [1 + \Gamma_1(0^+)] U_1^i$$

$$U_1^i = \frac{1 + \Gamma_I(0^-)}{1 + \Gamma_1(0^+)} U_1^i$$

式中

$$\Gamma_1(0^+) = \Gamma_1(z = z_1^-) e^{-j2k_{z1}(z_1 - 0)}$$

$$\Gamma(z = z_1^-) = \frac{Z_{in}(z = z_1^-) - Z_1}{Z_{in}(z = z_1^-) + Z_1}$$



(a)



(b)

所以区域II第1节传输线上电压、电流为

$$U_1(z) = [1 + \Gamma_1(z)] U_1^i e^{-jk_{z1}z} \quad I_1(z) = [1 - \Gamma_1(z)] \frac{U_1^i}{Z_1} e^{-jk_{z1}z}$$

以此类推可得到区域II第二节、第三节以至第 n 节传输线上电压、电流分布。

反射系数与场分布

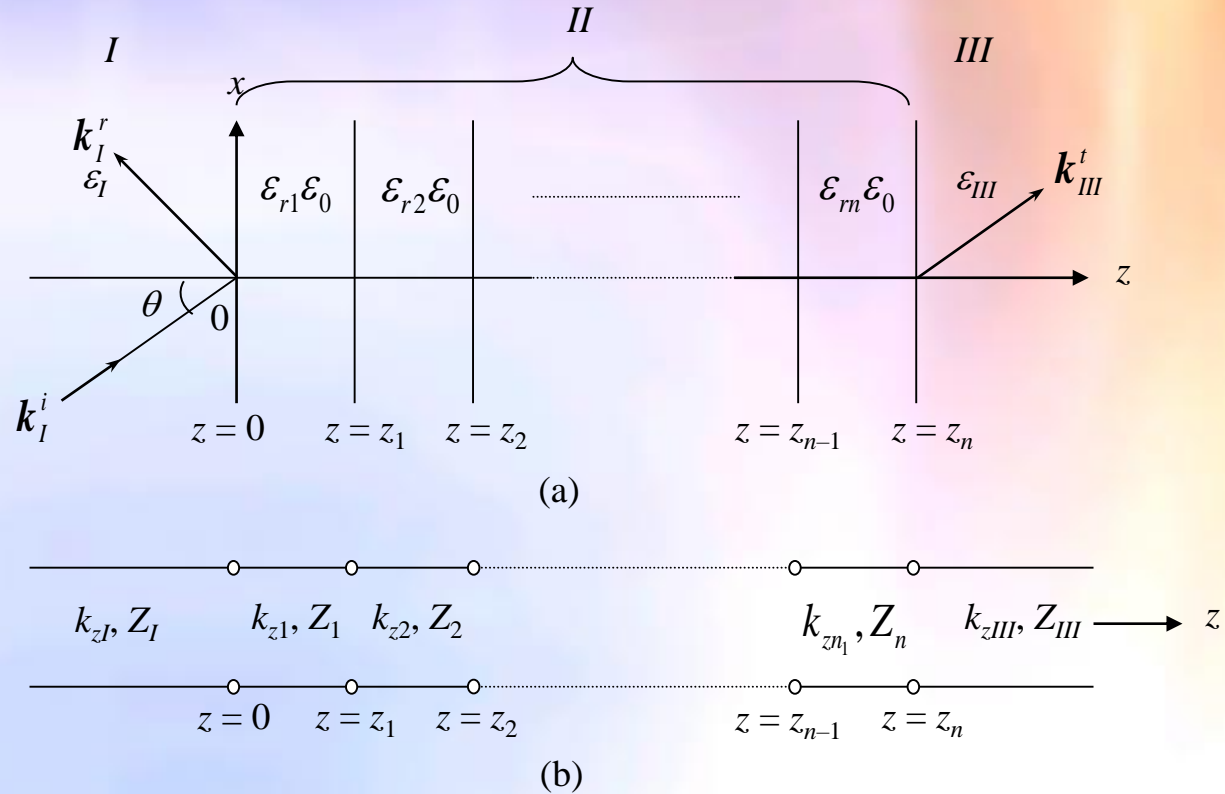
在区域III，没有反射波，
电压、电流都是行波。

$$U_{\text{III}}^i(z = z_n^+) = U_n(z_n^-)$$

$$= U_n^i \left[1 + \Gamma(z_n^-) \right]$$

$$I_{\text{III}}^i(z = z_n^+) = \frac{U_{\text{III}}^i(z = z_n^+)}{Z_{\text{III}}}$$

$$\Gamma(z_n^-) = \frac{Z_{\text{III}} - Z_n}{Z_{\text{III}} + Z_n}$$



主教材例5-7

23

TE入射平面波波矢
 \mathbf{k}_1 以 $\theta = 30^\circ$ 角倾斜
 投射到薄层介质，
 已知

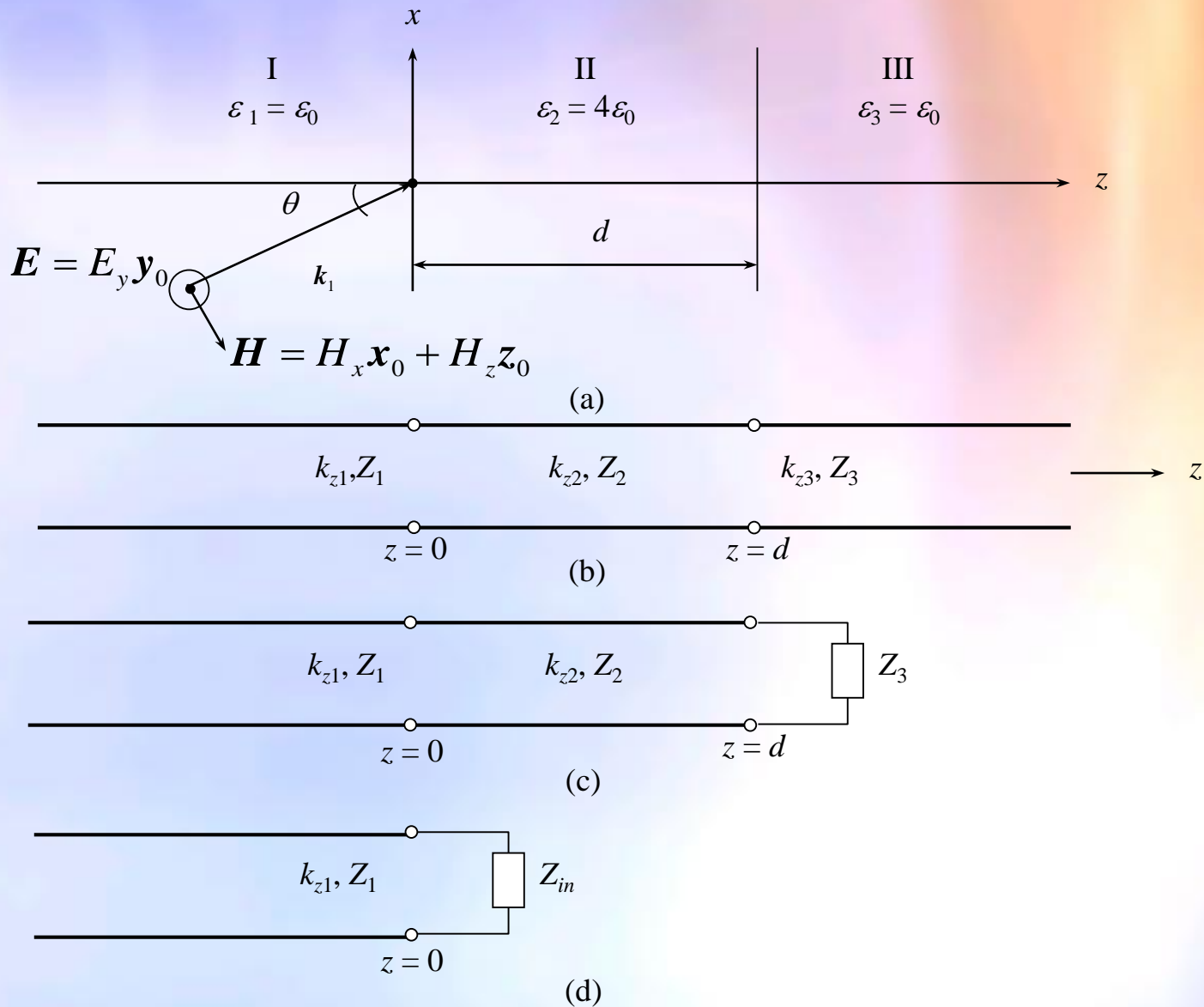
$$\varepsilon_{r_1} = \varepsilon_{r_3} = 1$$

$$\varepsilon_{r_2} = 4$$

$$k_{z2}d = 420^\circ$$

$$\left(\text{或 } \frac{d}{\lambda} = \frac{7}{6} \right)$$

求 $z = 0$ 处反射系数
 $\Gamma(0^-)$ 以及场分布。



主教材例5-7

24

计算等效传输线参数

$$k_1 = k_3 = \omega \sqrt{\mu_0 \epsilon_0} = k_0$$

$$k_2 = \omega \sqrt{4\epsilon_0 \mu_0} = 2k_0$$

$$k_{x1} = k_{x2} = k_{x3}$$

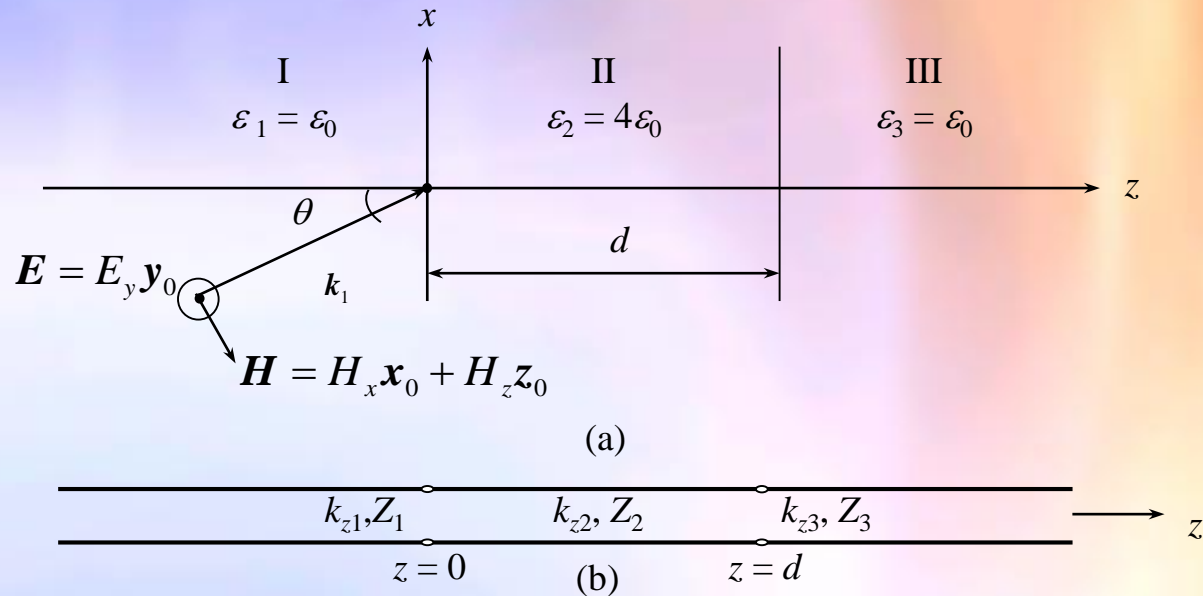
$$= k_1 \sin 30^\circ = \frac{1}{2} k_0$$

$$k_{z1} = k_{z3} = \sqrt{k_1^2 - k_{x1}^2}$$

$$= \sqrt{k_0^2 - \left(\frac{k_0}{2}\right)^2} = \frac{\sqrt{3}}{2} k_0$$

$$Z_1 = Z_3 = \frac{\omega \mu_0}{k_{z1}} = \frac{\omega \mu_0}{\frac{\sqrt{3}}{2} k_0} = \frac{2}{\sqrt{3}} \eta_0 = 435.3 \Omega$$

$$Z_2 = \frac{\omega \mu_0}{k_{z2}} = \frac{\omega \mu_0}{\sqrt{3.75} k_0} = \frac{\eta_0}{\sqrt{3.75}} = 194.7 \Omega$$

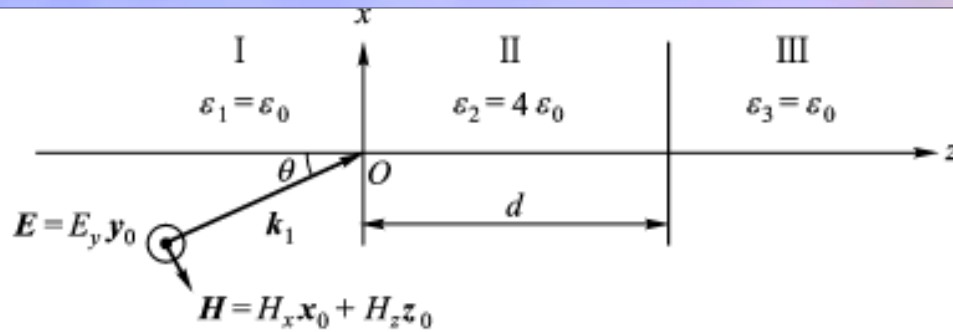


$$k_{z2} = \sqrt{k_2^2 - k_{x2}^2}$$

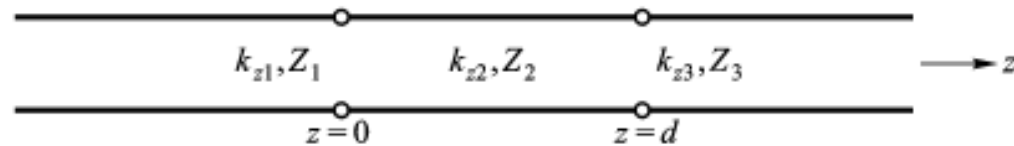
$$= \sqrt{4k_0^2 - \left(\frac{k_0}{2}\right)^2} = \sqrt{3.75} k_0$$

主教材例5-7

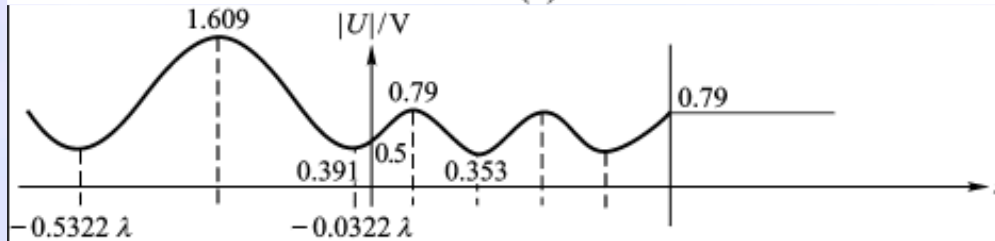
25



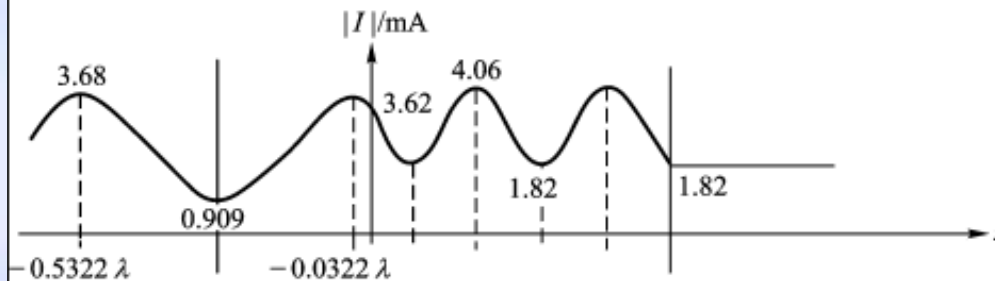
(a)



(b)



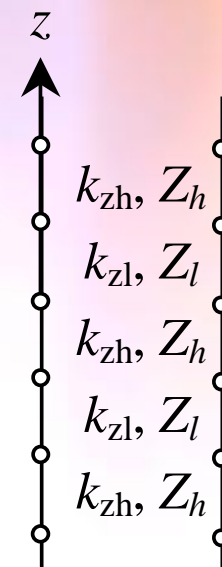
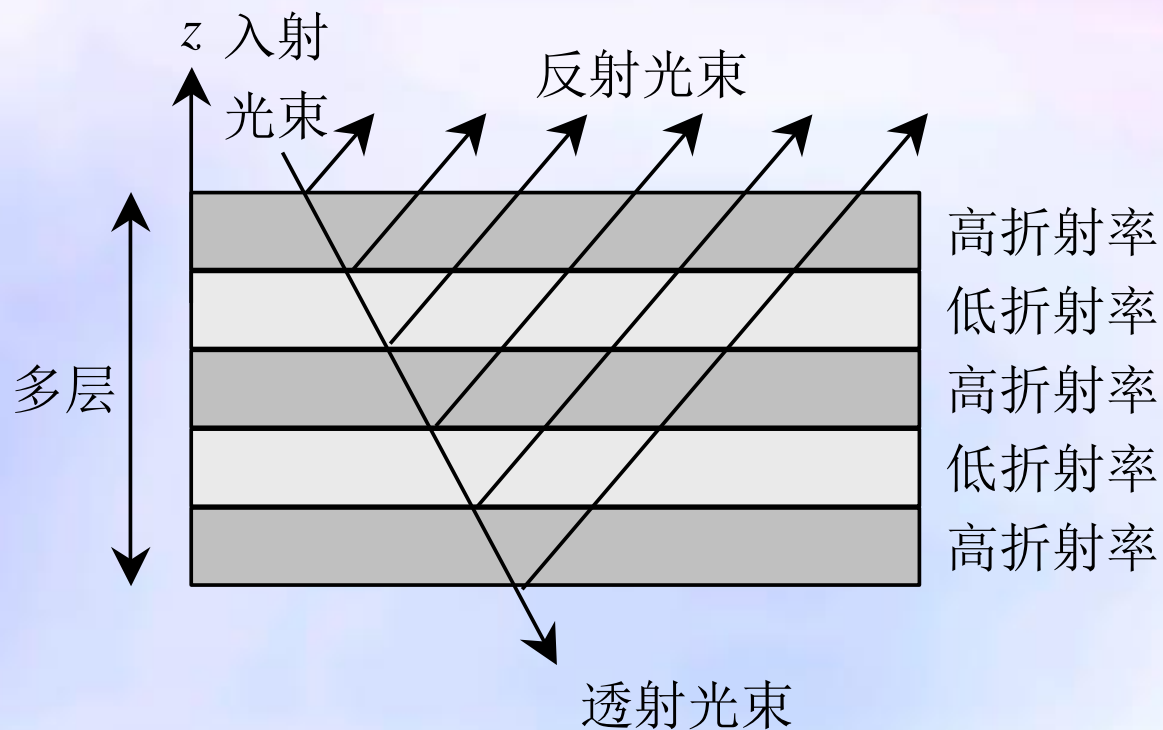
(c)



(d)

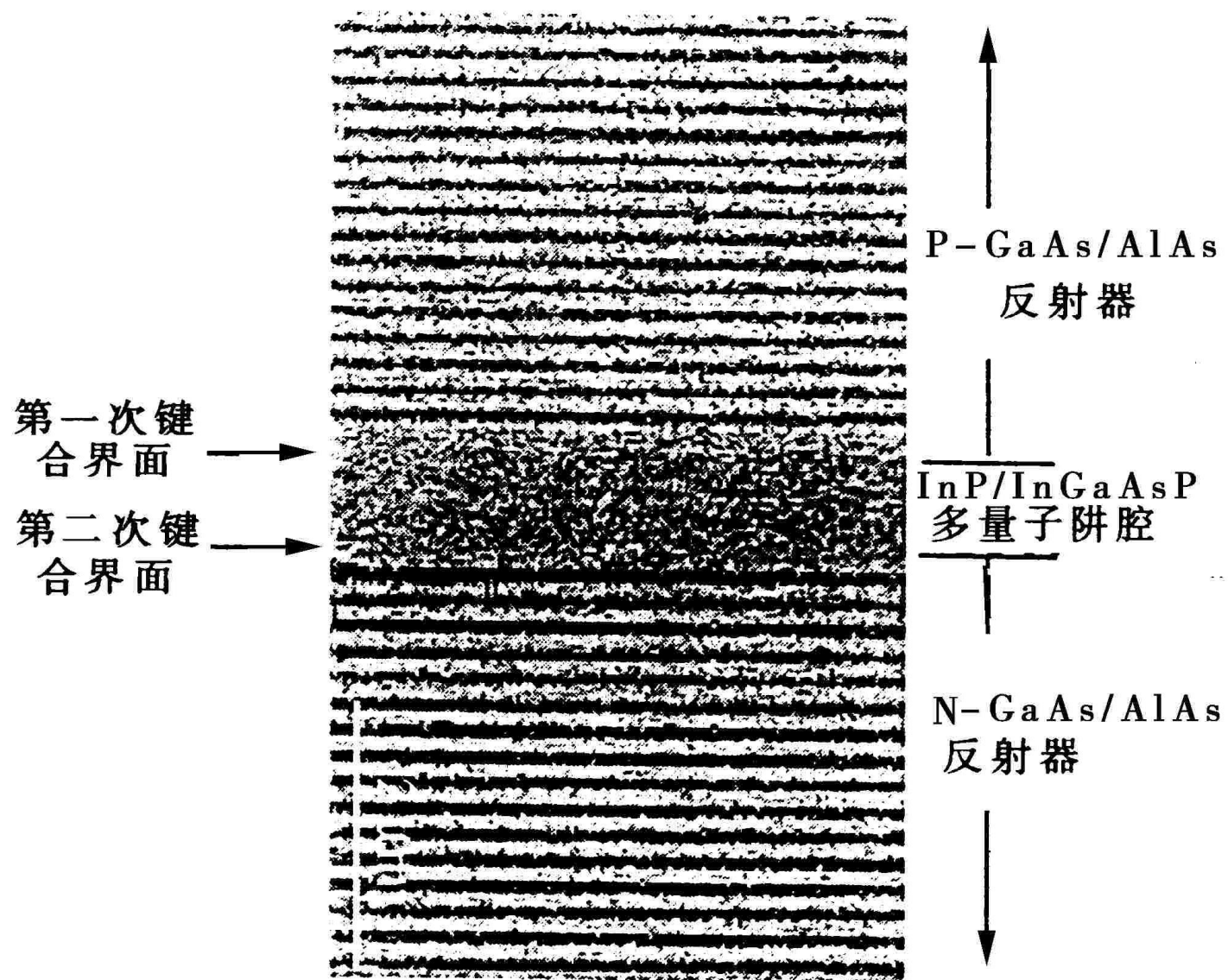
主教材例5-8多层介质膜干涉滤波器

26



激光器剖面图

27



复习要点

- 介质—介质交界面与介质—导体交界面对平面波的反射、透射是有区别的
- 等离子体当 $\omega < \omega_p$ 时，其等效介电常数 < 0 ，相当于导体对入射波全反射，但接近界面的等离子体中还有电磁能量储存，只是随离开界面距离而不断衰减。
- 多层介质系统对平面波的反射、透射用传输线模型分析最为方便，一定要掌握。

复习范围

5.5, 5.6

帮助理解的多媒体演示：MMS13